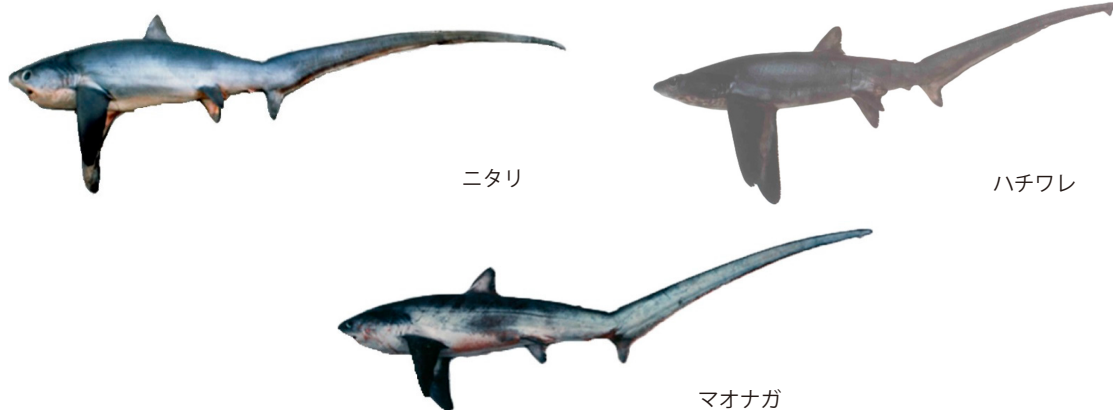


オナガザメ類 全水域

ニタリ (*Pelagic Thresher, Alopias pelagicus*)
ハチワレ (*Bigeye Thresher, Alopias superciliosus*)
マオナガ (*Common Thresher, Alopias vulpinus*)



最近の動き

2018 年には世界的に特に目立った動きは無かったが、2018 年から、インド洋まぐろ類委員会 (IOTC) の生態系混獲作業部会において、ハチワレを対象とした資源管理措置 (生存放流) の有効性を検証するための標識放流調査が実施されている。

2016 年 9 ～ 10 月にヨハネスブルグで開催されたワシントン条約第 17 回締約国会議 (CITES COP17) において、ハチワレ (類似種規定により、オナガザメ類 3 種全て) を附属書 II に掲載する提案が可決された。この議決は、2017 年 10 月 4 日から発効したが、我が国は、商業漁業対象種は持続的利用の観点から、漁業管理主体である地域漁業管理機関または沿岸国が適切に管理していくべきとの立場などから留保している。

利用・用途

肉は生鮮食品や燻製、塩干物として消費される。鰓はフカヒレスープの原料、皮は革製品の材料として利用されるほか、肝臓からはビタミン類が抽出される。

漁業の概要

日本の主要漁港におけるまぐろはえ縄などによるさめ類の種別水揚量は、水産庁による委託事業「日本周辺高度回遊性魚類資源調査委託事業（平成 12 ～ 17 年度）」、「日本周辺国際魚類資源調査（平成 18 年度～ 27 年度）」および「国際漁業資源評価調査・情報提供事業 現場実態調査（平成 28 年度～平成 29 年度）」によって調査が行われている。1992 ～ 2017 年におけるオナガザメ類の総水揚量は 102 ～ 706 トンで、その内はえ縄による水揚量が 84 ～ 591 トンと大部分を占めており（1992 ～ 2017 年：オナガザメ類総水揚量の約 88%）、流し網が続いて多かった（オナガザメ類総水揚量の約 11%）。時系列で見ると、オナガザメ類の水揚量は 1992 年の 706 トンをピークとして、2012-2013 年の 120 トン前後まで緩やかに減少傾

向を示したが、2014 年の水揚量は 153 トンと前年を若干上回り、2015 年には 102 トンと減少したが、2016 年には 157 トンに増加した。2017 年の報告値は前年とほぼ同レベルの 153 トンであった（図 1）。水揚げの多くを占めるはえ縄漁業のうち、近海はえ縄漁業と沿岸はえ縄漁業の漁船隻数を年別に集計した結果、調査期間を通じて減少傾向を示しており、努力量の減少が水揚量の減少の一因である可能性が考えられる（図 1）。さめ類の総水揚量に占めるオナガザメ類の割合は 1992 年の 4.0% から減少傾向を示し 2017 年は 1.1% であった。

米国西岸では、マオナガを対象とした流し網漁業や遊漁が存在し、流し網漁業では 1980 年代初期には 1,800 トンが水揚げされていたが、漁獲対象の転換や資源保護のための規制によって、2008 ～ 2009 年には 200 トン以下となっている。豪州においては、オナガザメ類は遊漁の対象となる他、2011 年初期まではインド洋に面する国々では地域的に消費され、欧州のマーケットでも食用として流通していたことが知られている（IOTC 2016a、2016b）。

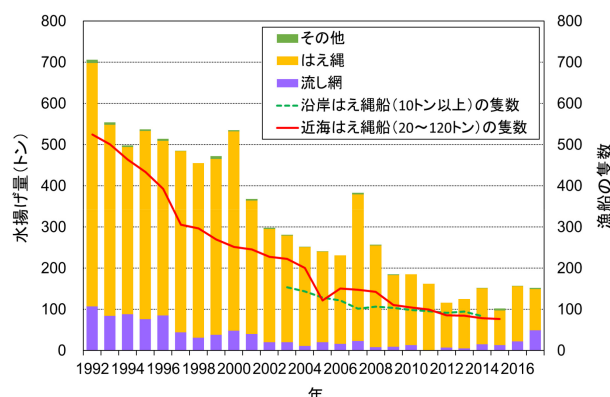


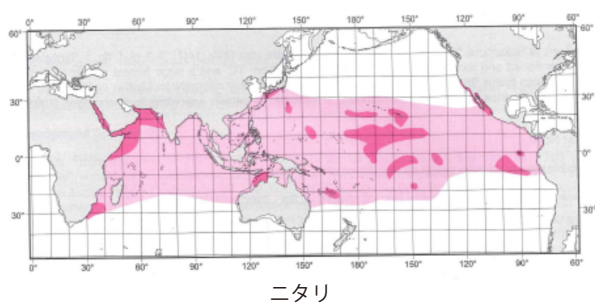
図 1. 日本の主要漁港へのオナガザメ類の水揚量

生物学的特性

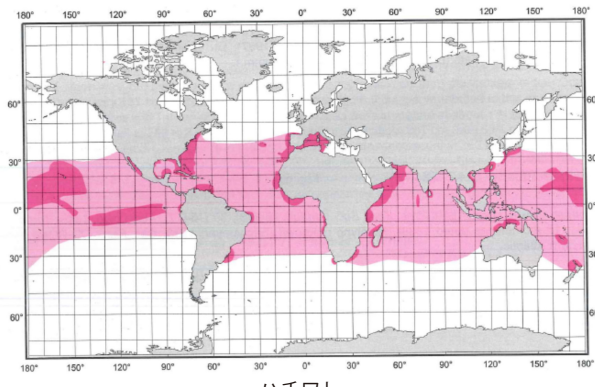
【分布】

ニタリは主に熱帯～亜熱帯の外洋の表層域に分布するが、時に沿岸近くに出現することもある。ハチワレは世界の熱帯～温帯の外洋域および沿岸域に分布する。マオナガは、熱帯～温帯の冷水域に広く分布するが、主な出現は温帯域であり、沿岸性が強いとされる（図2）。鉛直分布については、ニタリは表層～水深 152 m、ハチワレが最も深く表層から少なくとも水深 500 m（多くの場合、100 m 以深）、マオナガは表層～水深 366 m（多くの場合、表層に分布）と報告されている（Compagno 2001）。はえ縄漁具を日中に浸漬した調査では、ハチワレでは水深 240～360 m、水温 10～16°C、マオナガでは、水深 160～240 m、水温 18～20°C の環境で漁獲率が高いことが示されている（Cao et al. 2011）。

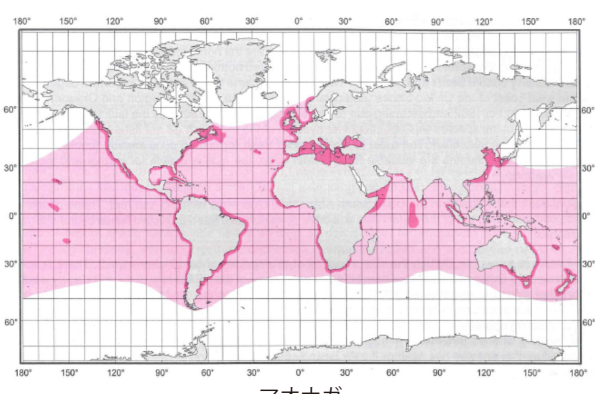
メキシコ湾および太平洋で行われたポップアップアーカイバーラグおよび超音波発信器による行動研究によれば、ハチワレの遊泳深度（図3）は成長段階によらず、夜間（10



ニタリ



ハチワレ



マオナガ

図2. オナガザメ類の分布 (Compagno 2001 より引用)

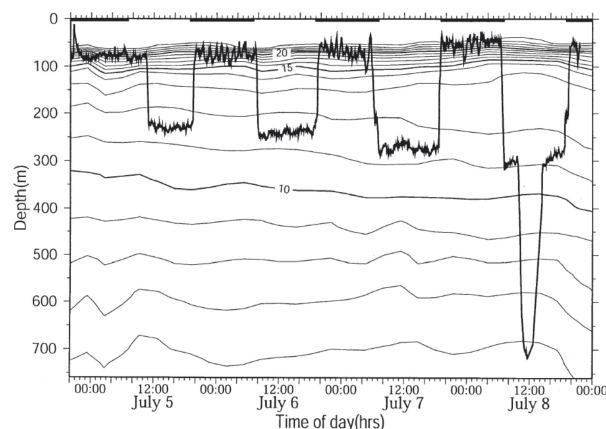


図3. ハチワレの日周鉛直移動（Nakano et al. 2003 より引用）
縦軸が遊泳水深、横軸は日にちと時刻を示す。図中のセンターは水温の等深線を示す。

～130 m）よりも日中（200～500 m）の方が深いこと（Nakano et al. 2003、Weng and Block 2004）、これに伴い分布水温は夜間（メキシコ湾、ハワイ：20～26°C）の方が日中（メキシコ湾：6～12°C、ハワイ：6～26°C）よりも高いことが示されている（Weng and Block 2004）。また、大西洋熱帯域で行われた調査においても、同様の日周鉛直移動が確認されている（Coelho et al. 2015）。

カリフォルニア南部で行われたアーカイバーラグおよび超音波発信器による行動研究によれば、マオナガは大陸棚上の浅い海域を避け、沖合の深い場所を好み、日中は水温躍層の下もしくは躍層の上部を遊泳し夜間は躍層の上、混合層に留まることが明らかになった（Cartamil et al. 2010a、2011）。また、未成魚については、多くの時間を大陸棚上で過ごし、個体によっては生息場所に高い固着性を示すこと、鉛直的には表層 20 m に分布が限られること、昼の分布水深は夜よりも深いことがわかっている（Cartamil et al. 2010b）。また、追加の調査では、日中 50 m 以上の水深まで頻繁な鉛直移動を行い、最大 192 m まで移動すること、14～17°C の水温との関係性が最も高いこと、鉛直的な移動の範囲は体サイズに比例しないこと、などが報告されている（Cartamil et al. 2016）。インド洋南東部で行われた調査では、マオナガの日周鉛直移動は餌生物の日周鉛直移動によって説明できることが示唆されている（Heard et al. 2017）。

太平洋における日本のはえ縄調査データの解析によれば、ハチワレの CPUE は熱帯域（北緯 10～15 度、南緯 5～10 度）で高いこと、低緯度では幼魚や未成魚が多く出現し高緯度になるほど大型個体の割合が高くなることが示唆されている（Matsunaga and Yokawa 2013）。インド洋においても同様の傾向が見られる上、海域や体長階級によって性比が異なることが示されている（Fernandez-Carvalho et al. 2015b）。マオナガについても、インド洋北西部や北米西岸において水平・鉛直方向における性的棲み分けの存在が指摘されている（Compagno 2001）。

系群構造に関しては殆ど研究が行われていないが、近年のミトコンドリア DNA およびマイクロサテライト（核 DNA）を用いた研究によれば、ニタリは太平洋の東部と西部で大きく遺

伝的組成が異なることが明らかになっている (Cardenosa *et al.* 2014)。

【産卵・回遊】

ニタリ、ハチワレ、マオナガの繁殖様式はいずれも卵食・共食い型の非胎盤型胎生 (Otake and Mizue 1981、Gilmore 1983、Moreno and Moron 1992、Chen *et al.* 1997、Liu *et al.* 1999、White 2007、Natanson and Gervelis 2013、Varghese *et al.* 2017) である。産仔数の範囲は、ニタリが 2 尾 (Otake and Mizue 1981、Liu *et al.* 1999、White 2007、Romero-Caicedo *et al.* 2014、Varghese *et al.* 2017)、ハチワレが 2 尾 (最頻値、レンジは 2 ~ 4 個体) (Moreno and Moron 1992)、2 尾 (Chen *et al.* 1997、White 2007、Varghese *et al.* 2017)、マオナガが平均 3.7 尾 (Natanson and Gervelis 2013)、4 尾 (Mancini and Amorim 2006) と推定されている (表 1)。出生時の体長は、ニタリが全長 158 ~ 190 cm (Liu *et al.* 1999)、全長 130 ~ 160 cm (Compagno 2001)、全長 130.0 ~ 144.0 cm (White 2007)、全長 136 ~ 142 cm (Romero-Caicedo *et al.* 2014)、全長 137.8 ~ 142 cm (Varghese *et al.* 2017)、ハチワレが全長 100 cm (Moreno and Moron 1992)、135 ~ 140 cm (Chen *et al.* 1997)、118 ~ 135 cm (Varghese *et al.* 2017)、マオナガが全長 114 ~ 160 cm (Compagno 2001) で (表 1)、妊娠期間はニタリが 9 か月 (Romero-Caicedo *et al.* 2014)、ハチワレが 12 か月 (Compagno 2001)、マオナガが 9 か月 (Cailliet and Bedford 1983) と推定されている。なお体長について、特に説明がない場合は、尾鰭前長を表す。交尾・出産期および繁殖周期については、ニタリでは明瞭な交尾・出産期は報告されていないが (Liu *et al.* 1999、White 2007、Varghese *et al.* 2017)、東部太平洋では、胎仔の発達の同調性から出産期の季節性を示唆する報告もある (Romero-Caicedo *et al.* 2014)。繁殖周期については、妊娠個体が周年観察されていることや、胎仔と母体の卵巣卵の発達が同調していることから、休止期を挟まず毎年出産を行っている可能性が示唆されている (Liu *et al.* 1999、Romero-Caicedo *et al.* 2014、Varghese *et al.* 2017)。ハチワレでは、出産は季節性がなく周年行っていると推定されているが (Chen *et al.* 1997、White 2007、Varghese *et al.* 2017)、東部大西洋では秋～冬期の出産が他の時期に比べて多いと報告されている (Moreno

and Moron 1992)。繁殖周期については、胎仔と母体の卵巣卵の発達が同調していることから、休止期を挟まず毎年出産を行っている可能性が示唆されている (Varghese *et al.* 2017)。マオナガでは、東部太平洋において夏期 (7 ~ 8 月) に交尾後、9 か月の妊娠期間を経て春季 (3 ~ 6 月) に出産すると推定されている一方 (Cailliet and Bedford 1983)、大西洋では、5 ~ 8 月 (Mancini and Amorim 2006、Natanson and Gervelis 2013) の出産期を経て交尾は秋に行われること、休止期を伴うため出産は毎年行われない可能性が指摘されている (Natanson and Gervelis 2013)。

ハチワレではイベリア半島南西部の沖合 (Moreno and Moron 1992) が、マオナガではカリフォルニア南部など、温帯域の沿岸域 (Compagno 2001、Cartamil *et al.* 2010b) が生育場と考えられている。

マオナガについては、北米西岸の個体群は季節回遊を行うと言われており、春季にバハ・カリフォルニアからカリフォルニア沖に北上し夏の間沿岸域に高密度に分布する。成熟雄は雌よりも北上しブリティッシュコロンビアまで到達するが、未成魚は低水温耐性が弱いためカリフォルニア中央部より北に移動することはなく、沿岸域の暖かく水深の浅い場所で多く見られる (Compagno 2001)。

【成長・成熟】

脊椎骨に形成される輪紋から年齢が推定されており、ニタリについては Liu *et al.* (1999) と Drew *et al.* (2015) がそれぞれ台湾近海、インドネシア近海で漁獲された個体について (図 4)、ハチワレについては Liu *et al.* (1998)、Fernandez-Carvalho *et al.* (2011)、Fernandez-Carvalho *et al.* (2015a) がそれぞれ台湾近海、北東大西洋の熱帯域、大西洋全域で漁獲された個体を対象として (図 5)、マオナガについては Smith *et al.* (2008)、Natanson *et al.* (2015) が北東太平洋、北西大西洋で漁獲された個体を対象として (図 6)、成長式を推定している。

成熟体長は、ニタリでは雄が 144.3 cm / 全長 268.6 cm (Romero-Caicedo *et al.* 2014)、全長 267 ~ 276 cm (Liu *et al.* 1999)、全長 264.8 cm (White 2007)、全長 254.96 cm (Varghese *et al.* 2017)、雌が 151.4 cm / 全長 282.6 cm (Romero-Caicedo *et al.* 2014)、全長 282 ~ 292 cm (Liu *et al.* 2017) である。

表 1. オナガザメ類 3 種の繁殖様式、産仔数、出生時の体長

種名	繁殖様式	産仔数(平均と範囲)	出生時の体長	出典
ニタリ	非胎盤型胎生、卵食型	2尾	— 158 ~ 190 cm (全長) 130 ~ 160 cm (全長) 130 ~ 144 cm (全長) 136 ~ 142 cm (全長) 137.8 ~ 142 cm (全長)	Otake and Mizue 1981 Liu <i>et al.</i> 1999 Compagno 2001 White 2007 Romero-Caicedo <i>et al.</i> 2014 Varghese <i>et al.</i> 2017
ハチワレ	非胎盤型胎生、卵食型	2尾(2 ~ 4 尾)	100 cm (全長) 135 ~ 140 cm (尾鰭前長) — 118 ~ 135 cm (全長)	Moreno and Moron 1992 Chen <i>et al.</i> 1997 White 2007 Varghese <i>et al.</i> 2017
マオナガ	非胎盤型胎生、卵食型	4 尾(1 ~ 4 尾)	114 ~ 160 cm (全長)	Compagno 2001 Mancini and Amorim 2006 Natanson and Gervelis 2013

al. 1999)、全長 285.3 cm (White 2007)、全長 271.39 cm (Varghese et al. 2017)、ハチワレでは、雄が全長 276 cm (Moreno and Moron 1992)、全長 270.1 ~ 287.6 cm (Chen et al. 1997)、尾叉長 159.2 cm (Fernandez-Carvalho et al.

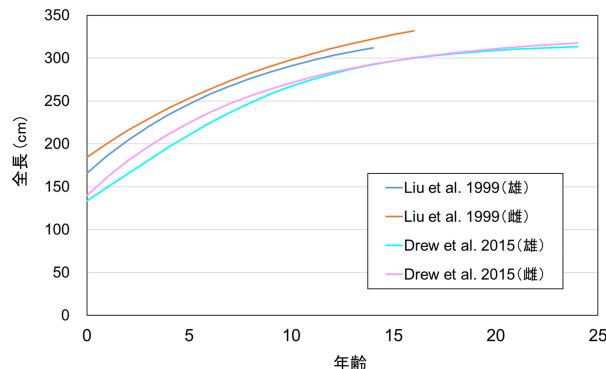


図 4. ニタリの成長式 (Liu et al. 1999, Drew et al. 2015 より引用)

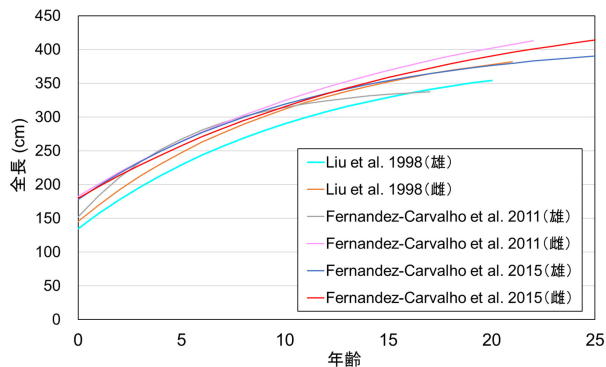


図 5. ハチワレの成長式 (Liu et al. 1998, Fernandez-Carvalho et al. 2011, 2015a より引用)

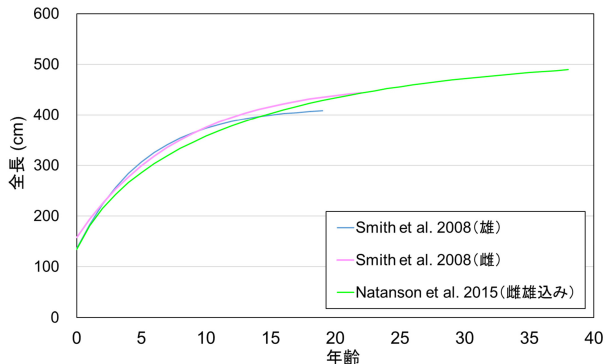


図 6. マオナガの成長式 (Smith et al. 2008, Natanson et al. 2015 より引用)

表 2. オナガザメ類 3 種の体長測定部位間の換算式

種名	測定部位 (x-y)	換算式	調査海域	出典
ニタリ	PCL-TL 雌: TL=2.34+1.93×PCL		北西太平洋	Liu et al. 1999
	PCL-TL 雄: TL=2.33+1.89×PCL		北西太平洋	同上
	TL-PL 雌: TL=23.009+1.7146×PL		東部太平洋	Romero-Caicedo et al. 2014
	TL-PL 雄: TL=18.044+1.7362×PL		東部太平洋	同上
ハチワレ	PCL-TL 雌: TL=15.3+1.81×PCL		太平洋	Liu et al. 1998
	PCL-TL 雄: TL=15.1+1.76×PCL		太平洋	同上
	FL-TL 雌: TL=13.3+1.69×FL		太平洋	同上
	FL-TL 雄: TL=26.3+1.56×FL		太平洋	同上
	TL-FL 雌雄込み: FL=4.83+0.58×TL		大西洋	Fernandez-Carvalho et al. 2011
マオナガ	TL-FL 雌雄込み: FL=16.466+0.5168×TL		大西洋	Gervelis and Natanson 2013

PL (原文より) および PCL は、ともに尾鰭前長を指す。

2015b)、全長 279.0 ~ 283.0 cm (White 2007)、全長 263.5 cm (Varghese et al. 2017)、雌が全長 332 ~ 341.1 cm (Chen et al. 1997)、尾叉長 208.6 cm (Fernandez-Carvalho et al. 2015b)、全長 310.69 cm (Varghese et al. 2017)、マオナガでは、雄が全長 293 ~ 311 cm (Smith et al. 2008)、尾叉長 181 ~ 198 cm (Natanson and Gervelis 2013)、雌が全長 303 cm (Smith et al. 2008)、尾叉長 208 ~ 224 cm (Natanson and Gervelis 2013) と推定されている。成熟年齢は、ニタリでは雄が 7 ~ 8 歳 (Liu et al. 1999) ~ 10.4 歳 (Drew et al. 2015)、雌が 8.0 ~ 9.2 歳 (Liu et al. 1999) ~ 13.2 歳 (Drew et al. 2015)、ハチワレでは雄が 9 ~ 10 歳 (Liu et al. 1998)、雌が 13.4 歳 (Liu et al. 1998)、マオナガでは雄が 4.8 歳 (Smith et al. 2008) ~ 8 歳 (Natanson et al. 2015)、雌が 5.3 歳 (Smith et al. 2008) ~ 13 歳 (Natanson et al. 2015) と推定されている。

体長測定部位が研究者によって、尾鰭前長、尾叉長、全長と様々であるので、これまで公表されている測定部位間の換算式を、表 2 に引用する。

資源状態

現在、まぐろ類地域漁業管理機関 (RFMO) において、オナガザメ類の資源水準の推定はどの大洋でも行われていないが、太平洋、大西洋、インド洋において、はえ縄漁業を対象とした生態学的リスク解析が行われている。太平洋共同体事務局 (SPC) が行った太平洋の解析結果によれば、オナガザメ類のリスク (脆弱性) は “中程度” と評価されたが (Kirby and Hobday 2007)、大西洋まぐろ類保存国際委員会 (ICCAT) が行った大西洋の結果では、ICCAT 海域で主に漁獲又は混獲される代表的な板鰓類 20 種の中でハチワレは最も脆弱～3 番目 (評価方法によって異なる) に脆弱な種であると推定されている (ICCAT 2017)。大西洋の解析では、ハチワレの生産力が他の種に比べて低いとされていることが本種の脆弱性が高いと推定された主な要因と考えられる (Cortés et al. 2010)。インド洋まぐろ類委員会 (IOTC) が行ったインド洋の結果も、ハチワレは非常に脆弱な種であることが示唆されている (IOTC 2012)。

北米西海岸で漁獲されるマオナガについては、米国およびメキシコの漁業データに基づき、統合モデルを用いた資源評価が行われている (Teo et al. 2016)。アメリカ海洋大気局 (NOAA) のアメリカ海洋漁業局 (NMFS) が発表した資料によれば、推定された漁獲圧の強さは、乱獲状態の指標となる値を大きく下

回り、2014 年時点の親魚量は開発前のレベルの 94% と推定されており、本系群は乱獲状態ではなく過剰漁獲の状態にもないことが示された。本系群は、過去には過剰漁獲により個体数が大きく減少したものの、その後の厳しい漁業管理の導入により、過去 15 年の間に比較的早く資源状態は回復し、現在は開発前のレベルに近い状態であるとされている。

この他、SPC の専門家グループが報告した中西部太平洋水域の漁業データに基づくオナガザメ類の資源状態の傾向分析によれば、はえ縄漁業における主な漁獲は東経 170 度以東、南緯 10 度～北緯 20 度で見られること、漁獲物の多くは未成熟個体であること、漁獲率は 1995 ～ 2001 年にかけて増加し、その後 2003 ～ 2011 年にかけてわずかに減少傾向を示し、2012 ～ 2014 年に急激に減少していることが示されている (Rice *et al.* 2015)。その後、FAO の ABNJ (Areas Beyond National Jurisdiction) プロジェクトとして、米国、日本が SPC が保有するオブザーバーデータや漁獲統計データを加えた包括的な解析が行われ、太平洋全域におけるハチワレの持続可能性に対するリスク評価の結果が 2017 年の WCPFC 第 13 回科学委員会にて発表された。放流後の死亡率 (100%、30 ～ 70%) を含め、幾つかのパラメーターについては複数のシナリオを考慮して、「現行の漁獲圧」が「本系群が持続可能なレベルの漁獲圧」を超える確率（絶滅リスク）に基づき、リスク評価を行った。管理基準値を r (内的自然増加率) の半分 ($0.5r$) または r の 4 分の 3 ($0.75r$) とした場合、推定される絶滅リスクは大きく変動した (Common Oceans (ABNJ) Tuna Project 2017)。現状で、本系群のリスク評価における管理基準値の定義は定まっていないことから、科学委員会は Commission に対して、適切な限界管理基準値の定義やその上限を超過した場合のリスク許容度を検討する必要があると勧告した (WCPFC 2017)。

管理方策

現在、ICCAT においてハチワレの船上保持禁止措置が (Recommendation 09-07)、IOTC においてオナガザメ類 3 種の船上保持禁止措置 (Resolution 12/09) が施行されている。この他、全てのまぐろ類 RFMO において、漁獲されたさめ類の完全利用（頭部、内臓および皮を除く全ての部位を最初の水揚げまたは転載まで船上で保持すること）および漁獲データ提出が義務付けられている。加えて、WCPFC では、2014 年の年次会合において、①まぐろ・かじき類を対象とするはえ縄漁業は、ワイヤーリーダー（ワイヤー製の枝縄およびはりす）またはシャークライン（浮き玉または浮縄に接続された枝縄）のいずれかを使用しないこと、②さめ類を対象とするはえ縄漁業は、漁獲を適切な水準に制限するための措置等を含む管理計画を策定すること、が合意されている。

2016 年 9 ～ 10 月に開催された CITES COP17 において、ハチワレ（類似種規定により、オナガザメ類 3 種全て）を附属書 II に掲載する提案が行われ、投票の結果、可決された。この決定は 2017 年 10 月 4 日から発効し、オナガザメ類の魚体、鰓などを含む一切の派生物を貿易する際は、輸出国による輸出許可書の発給が必要となり、公海域で採捕し自国に持ち帰る行為についても証明書の発給が義務付けられる。しかしながら我

が国は、商業漁業対象種は持続的利用の観点から、漁業管理主体である地域漁業管理機関または沿岸国が適切に管理していくべきとの立場などから、本種の附属書 II 掲載について留保している。このため、本種を締約国に輸出する場合には輸出許可書が必要となるものの、海からの持込みについての証明書の発給は不要となっている。

執筆者

かつお・まぐろユニット

さめ・かじきサブユニット

国際水産資源研究所 かつお・まぐろ資源部

まぐろ漁業資源グループ

仙波 靖子・倉島 陽

参考文献

- Cailliet, G.M., and Bedford, D.W. 1983. The biology of three pelagic sharks from California waters, and their emerging fisheries: a review. CALCOFI Rep., XXIV: 57-69 pp.
- Cao, D.M., Song, L.M., Zhang, Y., Lv, K.K., and Hu, Z.X. 2011. Environmental preferences of *Alopias superciliosus* and *Alopias vulpinus* in waters near the Marshall Islands. New. Zeal. J. Mar. Fresh., 45(1): 103-119.
- Cardenosa, D., Hyde, J., and Caballero, S. 2014. Genetic diversity and population structure of the pelagic thresher shark (*Alopias pelagicus*) in the Pacific Ocean: evidence for two evolutionarily significant units. PLOS ONE, 9(10): e110193.
- Cartamil, D.P., Sepulveda, C.A., Wegner, N.C., Aalbers, S.A., Baquero, A., and Graham, J.B. 2011. Archival tagging of subadult and adult common thresher sharks (*Alopias vulpinus*) off the coast of southern California. Mar. Biol., 158: 935-944.
- Cartamil, D., Wegner, N.C., Aalbers, S., Sepulveda, C.A., Baquero, A., and Graham, J.B. 2010a. Diel movement patterns and habitat preferences of the common thresher shark (*Alopias vulpinus*) in the Southern California Bight. Mar. Freshwater Res., 61: 596-604.
- Cartamil, D., Wegner, N.C., Kacev, D., Ben-aderet, N., Kohin, S., and Graham, J.B. 2010b. Movement pattern and nursery habitat of juvenile thresher sharks *Alopias vulpinus* in the Southern California Bight. Mar. Ecol. Prog. Ser., 404: 249-258.
- Cartamil, D., Wraith, J., Wegner, N.C., Kacev, D., Lam, C.H., Santana-Morales, O., Sosa-Nishizaki, O., Escobedo-Olvera, M., Kohin, S., Graham, J.B., and Hastings, P. 2016. Movements and distribution of juvenile common thresher sharks *Alopias vulpinus* in Pacific coast waters of the USA and Mexico. Mar. Ecol. Prog. Ser., 548: 153-163.
- Chen, C.T., Liu, K.M., and Chang, Y.C. 1997. Reproductive biology of the bigeye thresher shark, *Alopias superciliosus* (Lowe, 1839) (Chondrichthyes: Alopiidae), in the

- northwestern Pacific. *Ichthyol. Res.*, 44(3): 228-235.
- Coelho, R., Fernandez-Carvalho, J., and Santos, M.N. 2015. Habitat use and diel vertical migration of bigeye thresher shark: Overlap with pelagic longline fishing gear. *Mar. Environ Res.*, 112: 91-99.
- Common Oceans (ABNJ) Tuna Project. 2017. Pacific-wide sustainability risk assessment of bigeye thresher shark (*Alopias superciliosus*). WCPFC-SC13-2017/SA-WP-11 (rev 2). <https://www.wcpfc.int/system/files/SC13-SA-WP-11%20ABNJ%20BE%20Thresher%20Risk%20Assessment%20Rev%2020%2812%20August%202017%29.pdf> (2018 年 2 月 23 日)
- Compagno, L.J.V. 2001. FAO species catalog, Vol. 4: Sharks of the world; Part 2 - Bullhead, mackerel and carpet sharks. Food and Agricultural Organization of the United Nations. Rome, Italy. 269 pp.
- Cortés, E., Arocha, F., Beerkircher, L., Carvalho, F., Domingo, A., Heupel, M., Holtzhausen, H., Santos, M.N., Ribera, M., and Simpfendorfer, C. 2010. Ecological risk assessment of pelagic sharks caught in Atlantic pelagic fisheries. *Aquat. Living Resour.*, 23: 25-34.
- Drew, M., White, W.T., Dharmadi, Harry, A.V., and Huveneers, C. 2015. Age, growth and maturity of the pelagic thresher *Alopias pelagicus* and the scalloped hammerhead *Sphyrna lewini*. *J. Fish. Biol.*, 86: 333-354.
- Fernandez-Carvalho, J., Coelho, R., Erzini, K., and Santos, M.N. 2011. Age and growth of the bigeye thresher shark, *Alopias superciliosus*, from the pelagic longline fisheries in the tropical northwestern Atlantic Ocean, determined by vertebral band counts. *Aquat. Living Resour.*, 24: 359-368.
- Fernandez-Carvalho, J., Coelho, R., Erzini, K., and Santos, M.N. 2015a. Modelling age and growth of the bigeye thresher (*Alopias superciliosus*) in the Atlantic Ocean. *Fish. Bull.*, 113: 468-481.
- Fernandez-Carvalho, J., Coelho, R., Mejuto, J., Cortés, E., Domingo, A., Yokawa, K., Liu, K.M., García-Cortés, B., Forsselido, R., Ohshima, S., Ramos-Cartelle, A., Tsai, W.P., and Santos, M.N. 2015b. Pan-Atlantic distribution and reproductive biology of the bigeye thresher, *Alopias superciliosus*. *Rev. Fish. Biol. Fisheries*, 25(3): 551-568.
- Gervelis, B.J., and Natanson, L.J. 2013. Age and growth of the common thresher shark in the western north Atlantic Ocean. *Trans. Am. Fish. Soc.*, 142: 1535-1545.
- Gilmore, R.G. 1983. Observation on the embryos of the longfin mako, *Isurus paucus*, and the bigeye thresher, *Alopias superciliosus*. *Copeia*, 2: 375-382.
- Heard, M., Rogers, P.J., Bruce, B.D., Humphries, N.E., and Huveneers, C. 2017. Plasticity in the diel vertical movement of two pelagic predators (*Prionace glauca* and *Alopias vulpinus*) in the southeastern Indian Ocean. *Fish. Oceanogr.*, 27(3): 199-211.
- ICCAT. 2017. REPORT OF THE STANDING COMMITTEE ON RESEARCH AND STATISTICS (SCRS), Section 8.13, Executive Summary - Sharks. https://www.iccat.int/Documents/Meetings/Docs/2017_SCRS_REP_ENG.pdf (2018 年 1 月 24 日)
- IOTC. 2012. Report of the Eighth Session of the IOTC Working Party on Ecosystems and Bycatch, Cape Town, South Africa, 17-19 September, 2012. IOTC-2012-WPEB08. <http://www.iotc.org/documents/report-eighth-session-iotc-working-party-ecosystems-and-bycatch> (2018 年 1 月 24 日)
- IOTC. 2016a. Bigeye thresher shark Supporting information. http://www.iotc.org/sites/default/files/documents/science/species_summaries/english/Bigeye%20thresher%20shark%20Supporting%20Information.pdf (2018 年 1 月 24 日)
- IOTC. 2016b. Pelagic thresher shark Supporting information. http://www.iotc.org/sites/default/files/documents/science/species_summaries/english/Pelagic%20thresher%20shark%20Supporting%20Information.pdf (2018 年 1 月 24 日)
- Kirby, D.S., and Hobday, A. 2007. Ecological Risk Assessment for the Effects of Fishing in the Western and Central Pacific Ocean: Productivity-Susceptibility Analysis. Third Scientific Committee Meeting of the Western and Central Pacific Fisheries Commission, Honolulu, USA, 13-24 August 2007. WCPFC-SC3-EB SWG/WP-1. <https://www.wcpfc.int/node/1577> (2018 年 1 月 24 日)
- Liu, K.M., Chen, C.T., Liao, T.H., and Joung, S.J. 1999. Age, growth and reproduction of the pelagic thresher shark, *Alopias pelagicus* in the northwestern Pacific. *Copeia*, 1: 68-74.
- Liu, K.M., Chiang, P.J., and Chen, C.T. 1998. Age and growth estimates of the bigeye thresher shark, *Alopias superciliosus*, in northeastern Taiwan waters. *Fish. Bull.*, 96: 482-491.
- Mancini, P.L., and Amorim, A.F. 2006. Embryos of common thresher shark *Alopias vulpinus* in southern Brazil, south Atlantic Ocean. *J. Fish. Biol.*, 69: 318-321.
- Matsunaga, H., and Yokawa, K. 2013. Distribution and ecology of bigeye thresher *Alopias superciliosus* in the Pacific Ocean. *Fish. Sci.*, 79: 737-748.
- Moreno, J.A., and Moron, J. 1992. Reproductive biology of the bigeye thresher shark, *Alopias superciliosus* (Lowe, 1839). *Aust. J. Mar. Freshwater Res.*, 43: 77-86.
- Nakano, H., Matsunaga, H., Okamoto, H., and Okazaki, M. 2003. Acoustic tracking of bigeye thresher shark *Alopias superciliosus* in the eastern Pacific Ocean. *Mar. Ecol. Prog. Ser.*, 265: 255-261.

- Natanson, L.J., and Gervelis, B.J. 2013. The reproductive biology of common thresher shark in the western north Atlantic Ocean. *Trans. Am. Fish. Soc.*, 142: 1546-1562.
- Natanson, L.J., Hamady, L.L., and Gervelis, B.J. 2015. Analysis of bomb radiocarbon data for common thresher sharks, *Alopias vulpinus*, in the northwestern Atlantic Ocean with revised growth curves. *Environ. Biol. Fish.*, 99: 39-47.
- Otake, T., and Mizue, K. 1981. Direct evidence for oophagy in thresher shark, *Alopias pelagicus*. *Jpn. J. Ichthyol.*, 28(2): 171-172.
- Rice, J., Tremblay-Boyer, L., Scott, R., Hare, S., and Tidd, A. 2015. Analysis of stock status and related indicators for key shark species of the Western Central Pacific Fisheries Commission. Working Paper EB-WP-04, Eleventh Meeting of the Scientific Committee, WCPFC, 5-13 August 2015, Pohnpei, Federated States of Micronesia.
<https://www.wcpfc.int/node/21719> (2018 年 1 月 24 日)
- Romero-Caicedo, A.F., Galvan-Magana, F., and Martinez-Ortiz, J. 2014. Reproduction of the pelagic thresher shark *Alopias pelagicus* in the equatorial Pacific. *J. Mar. Biol. Assoc. U. K.*, 94(7): 1501-1507.
- Smith, S.E., Rasmussen, R.C., Ramon, D.A., and Cailliet, G.M. 2008. The biology and ecology of thresher sharks (Alopidae). In Camhi, M.D., Pikitch, E.K., and Babcock, E.A. (eds.), *Sharks of the open ocean. Biology, fisheries and conservation*. Blackwell Publishing, Oxford, UK.
- 水産庁（編）. 1993-1997. 平成 4 年度 - 平成 8 年度 日本周辺 クロマグロ調査委託事業報告書. 水産庁, 東京.
- 水産庁（編）. 1998-2001. 平成 9 年度 - 平成 12 年度 日本周辺 高度回遊性魚類資源対策調査委託事業報告書一 II (別冊資料: まぐろ類等漁獲実態調査結果). 水産庁, 東京.
- 水産総合研究センター（編）. 2002-2006. 平成 13 年度 - 平成 17 年度 日本周辺高度回遊性魚類資源対策調査委託事業報告書. 水産総合研究センター, 横浜.
- 水産総合研究センター（編）. 2007. 平成 18 年度 日本周辺国際魚類資源調査委託事業報告書. 水産総合研究センター, 横浜.
- 水産総合研究センター（編）. 2008-2011. 平成 19 年度 - 平成 22 年度 日本周辺国際魚類資源調査報告書. 水産総合研究センター, 横浜.
- 水産総合研究センター（編）. 2012-2016. 平成 23 年度 - 平成 27 年度 水揚地でのまぐろ・かじき調査結果. 水産総合研究センター, 横浜.
- 水産研究・教育機構（編）. 2017-2018. 平成 28 年度 - 平成 29 年度 国際漁業資源評価調査・情報提供事業 現場実態調査報告書. 水産研究・教育機構, 横浜.
- Teo, S.L.H., Rodriguez, E.G., and Sosa-Nishizaki, O. 2016. Status of common thresher sharks, *Alopias vulpinus*, along the west coast of North America. NOAA Technical Memorandum NMFS.
<https://swfsc.noaa.gov/publications/TM/SWFSC/NOAA-TM-NMFS-SWFSC-557.pdf#search=%27Status+of+comm+on+thresher+sharks%2C+Alopias+vulpinus%2C+along+the+west+coast+of+North+America%27> (2018 年 1 月 24 日)
- Varghese, S.P., Unnikrishnan, N., Gulati, D.K., and Ayoob, A.E. 2017. Size, sex, and reproductive biology of seven pelagic sharks in the eastern Arabian Sea. *J. Mar. Biol. Assoc. U. K.*, 97(1): 181-196.
- WCPFC. 2017. The Commission for the Conservation and Management of Highly Migratory Fish Stocks in the Western and Central Pacific Ocean. Thirteenth Regular Session of the Scientific Committee. Rarotonga, Cook Islands 9 - 17 August 2017. SUMMARY REPORT.
https://www.wcpfc.int/system/files/0_SC13%20Summary%20Report%20%28Adopted%20Version%20-%202017Nov2017%29_Contents%20page%20fixed.pdf (2018 年 2 月 22 日)
- Weng, K.C., and Block, B.A. 2004. Diel vertical migration of the bigeye thresher shark (*Alopias superciliosus*), a species possessing orbital retia mirabilia. *Fish. Bull.*, 102: 221-229.
- White, W.T. 2007. Biological observation on lamnid sharks (Lamniformes) caught by fisheries in eastern Indonesia. *J. Mar. Biol. Ass. U. K.*, 87: 781-788.

オナガザメ類（全水域）の資源の現況（要約表）

資 源 水 準	調査中
資 源 動 向	調査中
世界の漁獲量 * (最近 5 年間)	9,786 ~ 22,079 トン 最近（2016）年：17,736 トン 平均：15,061 トン (2012 ~ 2016 年)
我が国の漁獲量 ** (最近 5 年間)	102 ~ 157 トン 最近（2017）年：153 トン 平均：138 トン (2013 ~ 2017 年)
管 理 目 標	検討中
資 源 評 価 の 方 法	リスク評価による検討（太平洋ハチワレ）
資 源 の 状 態	調査中
管 理 措 置	船上保持禁止（ICCAT（ハチワレ）、IOTC（全種）） 漁獲物の完全利用など（ICCAT（※ハチワレ以外）、IATTC、WCPFC）
管理機関・関係機関	ICCAT、IOTC、WCPFC、IATTC
最新の資源評価年	2017 年（太平洋ハチワレ）
次回の資源評価年	—

*FAO による統計資料（2012 ~ 2016 年）に基づく集計値。

** 我が国主要水揚げ港における水揚げ量（2013 ~ 2017 年）の集計値。